

**ИССЛЕДОВАНИЕ КОНЦЕВЫХ ЭЛЕКТРИЧЕСКИХ ТОКОВ  
ПРИ ДВИЖЕНИИ ПЛАЗМЫ ПО КАНАЛУ ЭЛЕКТРОРАЗРЯДНОЙ ТРУБЫ  
ЧЕРЕЗ НЕОДНОРОДНОЕ МАГНИТНОЕ ПОЛЕ**

Ю. Ф. Кашкин

(Москва)

В работе [1] экспериментально обнаружено торможение потока плазмы в неоднородном магнитном поле и показано, что при течении плазмы в линейном прямоугольном канале через неоднородное магнитное поле происходит торможение потока плазмы перед центром магнита в зоне нарастания магнитного поля и за центром магнита в зоне спада магнитного поля. При внешнем поперечном магнитном поле с напряженностью  $B \sim 1 \text{ тл}$  в центре магнита поток плазмы с электропроводностью  $\sigma \approx 100 \text{ мо/см}$  тормозится с  $2.8 \cdot 10^6 \text{ см/сек}$  на входе в магнитное поле до  $1 \cdot 10^6 \text{ см/сек}$  за центром магнита. На выходе из магнитного поля имело место резкое ускорение плазмы, которое не было объяснено.

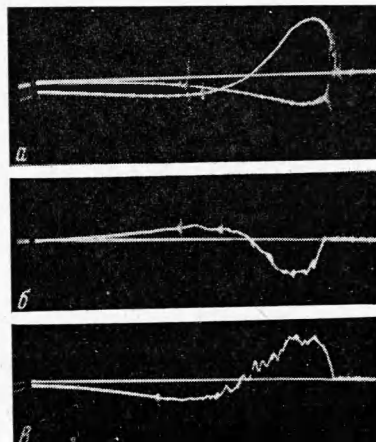
Торможение потока в магнитном поле отмечалось в ряде работ. Например, в работе [2] показано, что в зоне выхода из магнитного поля происходило торможение потока и экспериментальная величина э.д.с. оказалась меньше расчетной на 17%, а в работе [3] разница в э.д.с. достигала 50%. Такая разница между экспериментальными и расчетными величинами э.д.с. объясняется торможением потока плазмы в зоне нарастания магнитного поля вследствие возникновения концевых электрических токов.

Исследование торможения потока плазмы в магнитном поле описано в работе [4], где показана возможность резкого торможения потока при электропроводности плазмы  $\sigma \approx 70 \text{ мо/см}$  в магнитном поле  $B \approx 0.6 \text{ тл}$ . Плотность возникающего при этом электрического тока в зоне магнитного поля составляла  $j = 3200 \text{ а/см}^2$ .

Ниже исследуются концевые токи и индуцируемые ими магнитные поля.

1. Для определения величины концевых токов в зоне нарастания и спада внешнего магнитного поля применялся малоразмерный пояс Роговского с интегрирующей цепочкой. Пояс представлял собой торoidalную катушку с обратным витком, состоящую из 125 витков медного провода диаметром 0.1 см при диаметре витков 0.5 см, и устанавливался в рабочем прямоугольном канале сечением  $3 \times 4 \text{ см}^2$  так, что плоскость катушки перпендикулярна оси канала и параллельна магнитным силовым линиям внешнего магнитного поля.

Фиг. 1 Осцилограммы тока:  
 а) калибровка пояса Роговского (шунтом (осциллографом с шунтом снизу);  
 б) для заднего витка концевого тока,  $x = 3 \text{ см}$ ;  
 в) для переднего витка концевого тока,  $x = 8 \text{ см}$ .



Пояс охватывал верхнюю или нижнюю половину поперечного сечения канала, т. е. полностью охватывал концевой электрический ток одного из витков тока в каком-либо сечении канала относительно центра магнита. Большая часть тора пояса Роговского находилась вне поперечного сечения канала и лишь четвертая часть его находилась в потоке в центре поперечного сечения канала.

Калибровка интегрирующего пояса Роговского проводилась с помощью малоиндуктивного шунта при токе разряда конденсатора 3000—7000 а. На фиг. 1, а показана осциллограмма калибровки пояса Роговского.

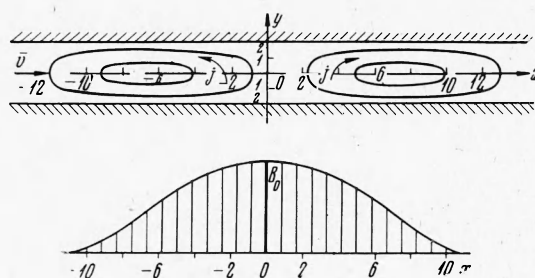
При помощи пояса Роговского были определены границы витков концевого тока. При исследовании витка электрического тока за центром магнита было получено, что передняя граница витка находится на расстоянии 3 см от центра магнита вниз по потоку при изменении приложенного магнитного поля от 0.16 до 0.96 тл, а задняя граница находится на расстоянии 13 см от центра магнита. Таким образом, длина витка концевого тока по оси канала составляет примерно 10 см.

Для одной и той же величины внешнего магнитного поля одинаковые сигналы с пояса Роговского получаются при расстоянии от центра магнита более 5 см, но не более 10 см. При расстоянии меньшем 3 см и большем 13 см сигналы с пояса Роговского отсутствуют.

ствуют. Таким образом, пояс Роговского полностью охватывал концевой электрический ток при  $10 \geq x > 5$  см, где  $x$  — расстояние от центра магнита. На фиг. 2 показана картина расположения витков концевого тока в канале относительно центра магнитного поля. Задний виток концевого тока выходит за пределы магнитного поля почти на 3 см.

Изучение следов на боковых прозрачных стенках канала после эксперимента показало, что границы витков концевого тока находятся на расстоянии около 0.5 см от верхней и нижней стенок канала.

Согласно фотографиям, полученным с помощью СФР, ширина токового канала соответствует ширине газодинамического канала.

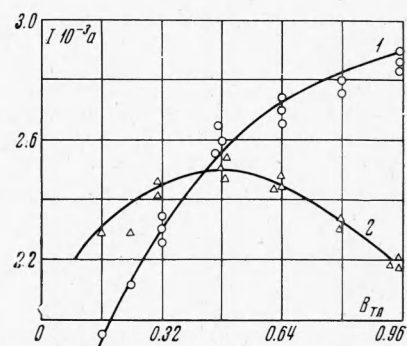


Фиг. 2 Схема расположения витков концевого тока по оси канала относительно центра поперечного магнитного поля  $B_0$

Аналогичные измерения проводились и для витка концевого тока до центра магнита, т. е. при  $x < 0$ . Передняя граница витка электрического тока находится при  $x = -11$  см, а задняя граница — при  $x = -1$  см, т. е. длина переднего витка концевого тока по оси канала, как и заднего витка, составляет около 10 см. Однаковые сигналы с пояса Роговского получены при  $-4 > x > -9$  см. Сигналы с пояса Роговского в переднем витке тока отличались от сигнала в заднем витке как по знаку, так и в большинстве случаев по величине. Разная полярность сигналов указывает на разное направление векторов плотности концевого тока.

На фиг. 2 показано, что витки тока расположены в канале несимметрично относительно центра магнита, что можно объяснить лишь «деформацией» магнитных силовых линий, так как магнитное число Рейнольдса в потоке достигает 10. Участок канала, свободный от концевых токов, занимает область  $-1 < x < 3$  см. При изучении размеров витков пояса Роговского занимал нижнюю половину поперечного сечения канала, контрольные измерения для верхней половины поперечного сечения канала дали аналогичные результаты.

Фиг. 3. Зависимость величины концевого тока от поперечного магнитного поля;  
1) передний виток концевого тока;  
2) задний виток концевого тока



Зависимость величины концевых токов от величины внешнего приложенного магнитного поля изучалась поясом Роговского только в двух точках канала на расстоянии 8 см по обе стороны от центра приложенного магнитного поля ( $x = \pm 8$  см), т. е. примерно в центре переднего и заднего витков концевого тока. Величина внешнего магнитного поля изменялась от 0.24 до 0.96 Тл. На фиг. 3 показана зависимость концевого тока в обоих витках от величины внешнего магнитного поля. Для переднего витка концевого тока характерен некоторый рост электрического тока с ростом магнитного поля. При увеличении магнитного поля в четыре раза величина концевого тока увеличивается с 1900 до 2900 а, т. е. примерно на 50%.

Для заднего витка концевого тока характерен максимум электрического тока, равный 2500 а, при  $B \approx 0.48$  Тл; при увеличении магнитного поля более 0.48 Тл концевой ток уменьшается, что объясняется резким торможением потока в переднем витке концевого тока.

2. Для исследования собственных магнитных полей концевых токов в область расположения витков концевого тока вводился магнитный зонд в виде однослоевой катушки диаметром 0.5 см и состоящий из 50 витков провода диаметром 0.015 см. Сигнал с катушки интегрировался  $RC$ -цепочкой и подавался на вход осциллографа ОК-17М.

Из-за сильных электрических полей в плазме катушка помещалась в заземленный электрический экран в виде цилиндра из немагнитной стали толщиной 0.01 см с разрезами.

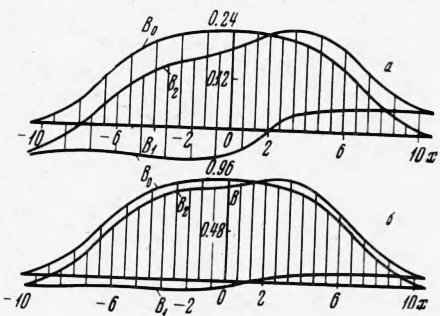
При прохождении сгустка плазмы через магнитное поле катушки фиксирует появление собственного магнитного поля концевого тока в виде изменения формы осциллограммы в области максимума внешнего магнитного поля. На осциллографу внешнего магнитного поля накладывается осциллография собственного магнитного поля, знак которой зависит от положения катушки относительно центра магнита. Для заднего витка концевого тока знаки осциллографий совпадают, а для переднего витка — противоположны.

Для исследования распределения собственного магнитного поля  $B_1$  вдоль оси канала магнитный зонд помещался на расстоянии до 10 см по обе стороны от центра магнита. На фиг. 4 показано распределение собственного магнитного поля  $B_1$  и магнитного поля  $B_2$  в плазме для внешнего магнитного поля 0.24 и 0.96 тл. Собственное магнитное поле переднего витка тока простирается за центр магнита примерно на 2 см.

При одной и той же величине внешнего поля  $B_0$  величина поля  $B_1$  в переднем витке тока в большинстве случаев больше, чем в заднем витке тока. Для переднего витка тока характерен рост поля  $B_1$  с ростом поля  $B_0$ . При увеличении внешнего магнитного поля с 0.24 до 0.96 тл собственное магнитное поле изменяется с 0.07 до 0.104 тл, т. е. не более 50%, что соответствует экспериментально определенному росту концевого тока.

Фиг. 4 Распределение поперечного магнитного поля по оси канала:

- a)  $B_0 = 0.24$  тл,
- б)  $B_0 = 0.96$  тл



Для заднего витка концевого тока характерен максимум собственного магнитного поля при внешнем магнитном поле  $B_0 = 0.48$  тл, который равен 0.08 тл. При  $B_0 = 0.24$  и 0.96 тл собственные магнитные поля  $B_1$  для заднего витка тока составляют 0.055 тл. Картина распределения собственных магнитных полей по оси канала аналогична распределению концевых токов в канале.

Как и следовало ожидать, за счет индуцированных полей концевых токов происходит смещение максимума магнитного поля в плазме  $B_2$  вправо по потоку относительно максимума приложенного магнитного поля  $B_0$ , составляющее примерно 2 см. Если в сечении  $x = \pm 10$  см внешнее магнитное поле равно нулю, то магнитное поле в плазме в сечении  $x = -10$  см  $B_2 < 0$ , а в сечении  $x = 10$  см  $B_2 > 0$ .

Таким образом, отмеченная выше несимметрия концевых токов в канале относительно центра внешнего магнитного поля  $B_0$  связана со смещением поперечного магнитного поля в плазме  $B_2$  вниз по потоку. Концевые токи оказываются симметричными относительно центра магнитного поля в плазме  $B_2$ .

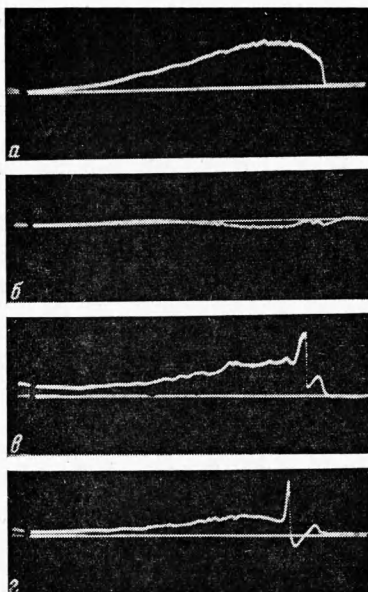
Расчет собственных магнитных полей концевых токов проводился для изотропной плазмы, движущейся в канале с непроводящими стенками, в присутствии внешнего магнитного поля, имеющего форму ступеньки. Оказалось, что для магнитного числа Рейнольдса  $R_m \approx 10$  собственное магнитное поле достигает 50% внешнего приложенного магнитного поля. Экспериментально получено, что собственное магнитное поле  $B_1$  достигает 30% приложенного поля  $B_0$  при  $B_0 = 0.24$  тл. При  $B_0 = 0.96$  тл  $B_1 = 0.11 B_0$ , т. е. с ростом приложенного поля степень нарастания собственного магнитного поля уменьшается. Следует учитывать, что магнитное поле в действительности не имеет формы ступеньки и плазма анизотропна, а также внешнее магнитное поле  $B_0$  имеет указанные значения лишь в центре магнита.

3. При изучении скорости переднего фронта сгустка от величины поперечного магнитного поля и положения фронта относительно центра магнита с помощью зондов отмечалось в [1], что за центром магнита при  $x > 4$  см передний фронт сгустка начинает ускоряться. Ускорение переднего фронта сгустка превышало степень торможения сгустка в одном и том же заднем витке концевого тока, хотя ускорение происходило при меньших значениях внешнего магнитного поля, так как этот участок находился дальше от центра неоднородного магнитного поля.

В работе [1] было высказано предположение, что ускоряется не весь сгусток плазмы в такой степени, а лишь его малая часть в области переднего фронта, а ускорение основной части сгустка, хотя и имеет место, но в меньшей степени.

Рассмотрение движения переднего фронта при  $x > 0$  показывает что когда передний фронт сгустка попадает в зону спада внешнего магнитного поля, то формируется задний виток концевого тока, при этом некоторая часть сгустка вблизи переднего фронта при формировании концевого тока успевает попасть в зону ускорения, не претерпев торможения, а основная часть потока тормозится сформировавшимся витком тока, т. е. при взаимодействии концевого тока передней по потоку половины витка концевого тока с внешним магнитным полем, и только после этого попадает в зону ускорения за центром заднего витка. Происходит отрыв небольшой части сгустка вблизи переднего фронта, которая не испытала торможения.

С помощью зондов нельзя определить скорость плазмы внутри сгустка, так как они реагируют лишь на фронт проводимости плазмы. Для выяснения явления проводилось исследование э.д.с. при расстоянии между цилиндрическими электродами, равном 2 см, которые устанавливались в разных сечениях канала относительно центра магнита. Электроды устанавливались последовательно в сечениях от  $x = -10$  см до  $x = 10$  см с интервалом в 2 см.



Фиг. 5. Осциллограммы э.д.с. между электродами при  $h = 2$  см,  $B_0 = 0,96$  тл для разных расстояний электродов ( $x$ ) от центра магнита:  
а)  $5 > x > -8$  см, б)  $x = -10$  см,  
в)  $x = 8$  см, г)  $x = 10$  см.

На фиг. 5, а показана осциллограмма э.д.с. при  $4 \geq x > -5$  см. При  $x > 4$  см меняется вид осциллограммы (фиг. 5, в), впереди появляется пик э.д.с., почти линейной зависящий от величины магнитного поля и по времени равный 2–4 мксек, т. е. длина впереди идущего сгустка составляет 5–10 см в зависимости от магнитного поля и расстояния от центра магнита.

Осциллограммы э.д.с. при  $x > 4$  см подтвердили предположение об ускорении части сгустка в области переднего фронта за центром магнита. Скорость потока, рассчитанная по пищевым значениям э.д.с. (фиг. 5, в), довольно хорошо совпадает с величиной скорости, полученной зондовым методом при  $x > 4$  см, т. е. действительно, зонды фиксируют лишь скорость переднего фронта сгустка, которая не всегда совпадает со скоростью основного потока.

Скорость, рассчитанная по э.д.с. при  $x < 4$  см, по осциллограммам в пределах погрешности измерения совпадает со скоростью, замеренной зондами. Измерение э.д.с. по осциллограммам производилось примерно через 10 мксек после появления сигнала, т. е. на расстоянии 20–30 см от переднего фронта. Следует заметить, что длительность течения сгустка зависит от величины магнитного поля и, например, при  $B_0 \approx 1$  тл длительность течения плазмы составляет около 70 мксек, тогда как при отсутствии магнитного поля она составляет 150 мксек. Измерение скорости по э.д.с. для разных моментов времени показало, что почти половина сгустка плазмы имеет постоянную скорость, равную скорости переднего фронта плазмы.

Для определения скорости потока при  $x > 4$  см проводилось измерение э.д.с. по осциллограммам за пиком э.д.с. через 10 мксек после появления сигнала, как и раньше при  $x < 4$  см. Расчет, проведенный для разных магнитных полей и расстояний от центра магнита, показал, что поток при  $x > 4$  см ускоряется примерно на 20% в сечении  $x = 10$  см, что значительно меньше ускорения части сгустка вблизи переднего фронта, при этом минимум скорости основного потока плазмы оказывается при  $x = 6$  см, а не при  $x = 4$  см, как у переднего фронта.

4. Для изучения картины течения плазмы в неоднородном магнитном поле производилась высокоскоростная съемка течения в канале с помощью скоростного фотографического аппарата СФР. Наиболее наглядной получается картина течения при фотографировании через верхнюю прозрачную стенку канала, т. е. через зазор между катушками магнита. Для этого часть верхней стенки канала длиной 20 см заменялась прозрачной пластиной толщиной 0,1 см. Съемка проводилась при разных магнитных полях.

На СФР-граммах видны две темные зоны, т. е. участки, где происходит торможение потока, один перед центром магнита длиной около 5 см, который не доходит до

центра магнита примерно на 2 см, а второй участок начинается точно в центре магнита и простирается на 4–5 см. Ширина темных зон равна ширине канала.

На СФР-граммах нет следов ударных волн, и, вероятно, торможение сверхзвукового потока происходит постепенно без ударных волн. Первая темная зона на СФР-граммах занимает положение от центра переднего витка концевого тока до его конца, а вторая зона начинается раньше, чем начинается задний виток концевого тока.

При сопоставлении зон торможения на СФР-граммах с зависимостью скорости переднего фронта [1] видно, что передняя темная зона совпадает с зоной торможения потока ( $-3 > x > -8$  см), а вторая зона совпадает с зоной торможения ( $5 > x > 0$ ). Отпечатки на боковых стенах канала ( $-8 \leq x \leq 5$  см) точно совпадают с границами темных зон на СФР-граммах.

5. Исследование взаимодействия сгустка плазмы с неоднородным магнитным полем при  $R_m > 1$  и анизотропной плазме в прямоугольном изолированном канале показало, что при течении высокоскоростного потока полностью ионизированной плазмы в зонах неоднородности магнитного поля за счет утечки зарядов формируются две петли концевого тока, величина электрического тока в которых зависит от скорости потока, его электропроводности и приложенного магнитного поля.

Анизотропия проводимости плазмы влияет на электропроводность плазмы, резко подавляя рост концевого тока с ростом внешнего магнитного поля.

Магнитные поля, индуцированные концевыми токами, направлены так, что в зоне нарастания внешнего магнитного поля уменьшают поперечное магнитное поле в плазме, т. е. индуцированное магнитное поле противоположно по знаку внешнему магнитному полю, а в зоне спада поля  $B_0$  увеличивают магнитное поле в плазме, т. е. индуцированное поле совпадает по знаку с внешним магнитным полем. Происходит смещение центра магнитного поля в плазме вниз по потоку, характерное для  $R_m > 1$ .

Особенно заметно влияние собственного магнитного поля концевых токов при малых внешних магнитных полях, когда  $B_1 = 0.3 B_0$ , так как с ростом приложенного магнитного поля собственные магнитные поля концевых токов меняются слабо вследствие анизотропии проводимости плазмы.

При взаимодействии концевых токов с поперечным магнитным полем в плазме возникает пондеромоторная сила  $\mathbf{F} = c^{-1} \mathbf{j} \times \mathbf{B}$ , которая тормозит поток перед центром магнита и в передней половине витка за центром магнита и ускоряет поток во второй половине заднего витка тока. Торможение сверхзвукового потока происходит плавно без образования ударных волн.

В зоне спада магнитного поля имеет место разделение потока с появлением форсунки, отделившегося от основного потока плазмы вблизи переднего фронта, длина которого не превышает 5% длины всего сгустка плазмы. Витки концевого тока несимметричны относительно центра внешнего магнитного поля, но симметричны центру магнитного поля в плазме.

Экспериментальные значения концевого тока и индуцированные ими магнитные поля более близки к расчетным при малых приложенных магнитных полях, а для  $B_0 \geq 0.1$  тл необходимо учитывать эффект Холла.

Скоростная съемка, как и зондовые измерения, показала существование двух зон торможения потока. Следовательно, при расчете э.д.с. нужно знать скорость потока в области электродов с учетом торможения потока в зоне нарастания магнитного поля, величину, магнитного поля в плазме с учетом индуцированных полей и профиль скорости с учетом пограничного слоя.

В заключение автор благодарит Г. М. Бам-Зеликовича и А. Б. Ватажина за помощь и обсуждение данной работы.

Поступила I VII 1969

#### ЛИТЕРАТУРА

1. Кашкин Ю. Ф. О торможении сгустка плазмы в неоднородном магнитном поле ПМТФ, 1969, № 3.
2. Leonard R. L., Fay J. A., Experiments on a quasisteady  $J \times B$ -accelerator. AIAA Journal, 1965, vol. 3, No. 1.
3. Валенси Ж., Иглесакис Г., Парро П. Исследование влияния сильного поперечного магнитного поля на сверхзвуковой поток ионизированного газа. В сб.: «Низкотемпературная плазма», М., «Мир», 1967.
4. Деревянко В. А., Заклязьминский Л. А., Каценельсон С. С., Керкис А. Ю., Лебедев Е. Ф., Трынкина Н. А., Фомичев В. П., Исследование нестационарного взаимодействия сгустка проводящего газа с заданным электрическим контуром. ПМТФ, 1968, № 2.